



"مقاله پژوهشی"

برآورد فرسایش خاک در اراضی شیبدار مرتعی با بکارگیری شبکه عصبی مصنوعی (ANN) و سیستم اطلاعات جغرافیایی (GIS)

وحید غلامی^۱، فرهاد برنا^۲ و محمدعلی هادیان امری^۳

۱- دانشیار گروه مرتع و آبخیزداری، دانشکده منابع طبیعی، دانشگاه گیلان، (نویسنده مسوول: gholami.vahid@gmail.com)

۲- دانش آموزانه کارشناسی ارشد مرتعداری، دانشکده منابع طبیعی، دانشگاه علوم کشاورزی و منابع طبیعی ساری

۳- استادیار بخش تحقیقات حفاظت خاک و آبخیزداری، مرکز تحقیقات و آموزش کشاورزی و منابع طبیعی مازندران، سازمان تحقیقات آموزش و ترویج کشاورزی، ساری، ایران

تاریخ دریافت: ۱۳۹۹/۵/۱۰ تاریخ پذیرش: ۱۳۹۹/۷/۱۴

صفحه: ۱۴۷ تا ۱۵۸

چکیده مبسوط

مقدمه و هدف: فرسایش خاک از مهمترین مشکلات مدیریت منابع طبیعی بخصوص در اراضی شیبدار مرتعی می باشد. از طرفی، برآورد فرسایش بوسیله تجهیزات اندازه گیری، هزینه بر و زمان بر است. بنابراین، استفاده از مدل سازی به منظور ارائه یک برآورد دقیق با زمان و هزینه اندک، کارآمد خواهد بود. هدف از تحقیق حاضر ارائه یک روش کارآمد برای برآورد مقادیر فرسایش خاک در اراضی شیبدار دور از دسترس می باشد.

مواد و روش ها: در تحقیق حاضر مقادیر فرسایش سالانه خاک به وسیله استقرار پهن های فرسایشی بر روی دامنه با کاربری مرتعی در حوضه آبخیز کسلیان استان مازندران مورد مطالعه قرار گرفت. مقادیر فرسایش خاک در ۱۰۹ پهن فرسایشی یک سال پس از استقرار آنها براساس تغییرات سطح خاک و اعمال وزن مخصوص خاک برآورد گشت. در این راستا، شبکه عصبی مصنوعی در محیط نرم افزار NeuroSolutions با بکارگیری مقادیر فرسایش به عنوان خروجی مدل و عوامل درصد پوشش مرتعی، شیب زمین، طول شیب، شکل شیب (انحناء زمین) و بافت خاک (درصد شن، رس، سیلت) به عنوان ورودی ها، جهت مدل سازی فرسایش بکار گرفته شدند. فرآیند مدل سازی با بکارگیری شبکه MLP طی سه مرحله آموزش شبکه (۶۵ درصد داده ها)، صحت صحنی (۱۰ درصد) و تست (۲۵ درصد داده ها) شبکه عصبی انجام پذیرفت. از سیستم اطلاعات جغرافیایی (GIS) نیز جهت تهیه نقشه فرسایش خاک با بکارگیری ارقام مدل سازی شده فرسایش در اراضی شیبدار استفاده شد.

یافته ها: نتایج تست یا اعتباریابی شبکه بهینه شده، دلالت برای کارایی شبکه عصبی در برآورد فرسایش خاک داشته است ($Rsq=0.9$). همچنین، تجزیه و تحلیل های آماری با بکارگیری نرم افزار SPSS و ساختار شبکه عصبی بهینه و آنالیز حساسیت ورودی های شبکه نشان داد که مهمترین عوامل فرسایش خاک به ترتیب میزان پوشش گیاهی، شکل شیب، میزان شیب، طول شیب و خصوصیات خاک می باشند. در نهایت، ورودی های شبکه بهینه اعتباریابی شده، در محیط GIS با پیکسل سایز ده متر با هم تلفیق شدند و با ادغام قابلیت های ANN و GIS نقشه مقادیر فرسایش سالانه خاک اراضی مرتعی مطالعاتی تهیه گردید.

نتیجه گیری: متدولوژی ارائه شده می تواند به عنوان روشی کارآمد و جایگزینی برای اندازه گیری ها صحرایی فرسایش خاک در مناطق دور از دسترس با کارایی بالا، مورد استفاده قرار گیرد.

واژه های کلیدی: حوضه کسلیان، مدل سازی، نقشه فرسایش خاک، MLP

مقدمه

مراتع از جمله با ارزش ترین منابع طبیعی و زیربنای تشکیل جوامع اولیه انسانی است و شامل اجزای مختلفی است که از جنبه های مختلف نظیر تولید علوفه، دامداری و زنبورداری، حفاظت آب و خاک، ارزش تفرجگاهی و غیره دارای اهمیت می باشند. با توجه به اهمیت مراتع در حفاظت آب و خاک، تولیدات دامی و ارزش تفرجگاهی مراتع و همچنین سایر مزایای مراتع، انجام مطالعات به منظور حفاظت و بهره برداری بهینه از آنها ضروری است (۴۹). خاک بستر حیات می باشد و تداوم حیات انسان ها و کره زمین نیازمند به حفاظت از این منبع طبیعی است. یکی از مشکلات دنیای امروز در مورد این منبع حیاتی، هدر رفت خاک در اثر فرسایش می باشد. فرسایش خاک عبارت است از کنده شدن و جابجایی ذرات خاک بوسیله یک عامل انتقال دهنده نظیر آب (فرسایش آبی) یا خاک (فرسایش بادی). در اقلیم های مرطوب نظیر شمال ایران، شکل غالب فرسایش، فرسایش آبی است (۱۱). همچنین، در روی دامنه ها فرسایش آبی با اشکال مختلف فرسایش پاشمانی، فرسایش سطحی، فرسایش آبراهه ای و در پای دامنه ها فرسایش خندقی و یا پایپینگ می باشد. از طرفی، رشد جمعیت بشر و فعالیت های کشاورزی و صنعتی آنها موجب تشدید فرسایش خاک شده است.

بنابراین، تداوم وضع موجود می تواند موجب تشدید فرسایش خاک و در نتیجه اثرات نامطلوب آن نظیر کاهش حاصلخیزی خاک، کاهش پوشش گیاهی جنگل ها و مراتع، کاهش تولیدات کشاورزی و مواد غذایی، آلودگی منابع آب، مشکلات ناشی از رسوبگذاری در مخازن سدها، رودخانه ها و آبراهه ها و غیره گردد (۱، ۲، ۳، ۴، ۵، ۶، ۷، ۸، ۹، ۱۰، ۱۱، ۱۲، ۱۳، ۱۴، ۱۵، ۱۶، ۱۷، ۱۸، ۱۹، ۲۰، ۲۱، ۲۲، ۲۳، ۲۴، ۲۵، ۲۶، ۲۷، ۲۸، ۲۹، ۳۰، ۳۱، ۳۲، ۳۳، ۳۴، ۳۵، ۳۶، ۳۷، ۳۸، ۳۹، ۴۰، ۴۱، ۴۲، ۴۳، ۴۴، ۴۵، ۴۶، ۴۷، ۴۸، ۴۹، ۵۰، ۵۱، ۵۲، ۵۳، ۵۴، ۵۵، ۵۶، ۵۷، ۵۸، ۵۹، ۶۰، ۶۱، ۶۲، ۶۳، ۶۴، ۶۵، ۶۶، ۶۷، ۶۸، ۶۹، ۷۰، ۷۱، ۷۲، ۷۳، ۷۴، ۷۵، ۷۶، ۷۷، ۷۸، ۷۹، ۸۰، ۸۱، ۸۲، ۸۳، ۸۴، ۸۵، ۸۶، ۸۷، ۸۸، ۸۹، ۹۰، ۹۱، ۹۲، ۹۳، ۹۴، ۹۵، ۹۶، ۹۷، ۹۸، ۹۹، ۱۰۰، ۱۰۱، ۱۰۲، ۱۰۳، ۱۰۴، ۱۰۵، ۱۰۶، ۱۰۷، ۱۰۸، ۱۰۹، ۱۱۰، ۱۱۱، ۱۱۲، ۱۱۳، ۱۱۴، ۱۱۵، ۱۱۶، ۱۱۷، ۱۱۸، ۱۱۹، ۱۲۰، ۱۲۱، ۱۲۲، ۱۲۳، ۱۲۴، ۱۲۵، ۱۲۶، ۱۲۷، ۱۲۸، ۱۲۹، ۱۳۰، ۱۳۱، ۱۳۲، ۱۳۳، ۱۳۴، ۱۳۵، ۱۳۶، ۱۳۷، ۱۳۸، ۱۳۹، ۱۴۰، ۱۴۱، ۱۴۲، ۱۴۳، ۱۴۴، ۱۴۵، ۱۴۶، ۱۴۷، ۱۴۸، ۱۴۹، ۱۵۰، ۱۵۱، ۱۵۲، ۱۵۳، ۱۵۴، ۱۵۵، ۱۵۶، ۱۵۷، ۱۵۸، ۱۵۹، ۱۶۰، ۱۶۱، ۱۶۲، ۱۶۳، ۱۶۴، ۱۶۵، ۱۶۶، ۱۶۷، ۱۶۸، ۱۶۹، ۱۷۰، ۱۷۱، ۱۷۲، ۱۷۳، ۱۷۴، ۱۷۵، ۱۷۶، ۱۷۷، ۱۷۸، ۱۷۹، ۱۸۰، ۱۸۱، ۱۸۲، ۱۸۳، ۱۸۴، ۱۸۵، ۱۸۶، ۱۸۷، ۱۸۸، ۱۸۹، ۱۹۰، ۱۹۱، ۱۹۲، ۱۹۳، ۱۹۴، ۱۹۵، ۱۹۶، ۱۹۷، ۱۹۸، ۱۹۹، ۲۰۰، ۲۰۱، ۲۰۲، ۲۰۳، ۲۰۴، ۲۰۵، ۲۰۶، ۲۰۷، ۲۰۸، ۲۰۹، ۲۱۰، ۲۱۱، ۲۱۲، ۲۱۳، ۲۱۴، ۲۱۵، ۲۱۶، ۲۱۷، ۲۱۸، ۲۱۹، ۲۲۰، ۲۲۱، ۲۲۲، ۲۲۳، ۲۲۴، ۲۲۵، ۲۲۶، ۲۲۷، ۲۲۸، ۲۲۹، ۲۳۰، ۲۳۱، ۲۳۲، ۲۳۳، ۲۳۴، ۲۳۵، ۲۳۶، ۲۳۷، ۲۳۸، ۲۳۹، ۲۴۰، ۲۴۱، ۲۴۲، ۲۴۳، ۲۴۴، ۲۴۵، ۲۴۶، ۲۴۷، ۲۴۸، ۲۴۹، ۲۵۰، ۲۵۱، ۲۵۲، ۲۵۳، ۲۵۴، ۲۵۵، ۲۵۶، ۲۵۷، ۲۵۸، ۲۵۹، ۲۶۰، ۲۶۱، ۲۶۲، ۲۶۳، ۲۶۴، ۲۶۵، ۲۶۶، ۲۶۷، ۲۶۸، ۲۶۹، ۲۷۰، ۲۷۱، ۲۷۲، ۲۷۳، ۲۷۴، ۲۷۵، ۲۷۶، ۲۷۷، ۲۷۸، ۲۷۹، ۲۸۰، ۲۸۱، ۲۸۲، ۲۸۳، ۲۸۴، ۲۸۵، ۲۸۶، ۲۸۷، ۲۸۸، ۲۸۹، ۲۹۰، ۲۹۱، ۲۹۲، ۲۹۳، ۲۹۴، ۲۹۵، ۲۹۶، ۲۹۷، ۲۹۸، ۲۹۹، ۳۰۰، ۳۰۱، ۳۰۲، ۳۰۳، ۳۰۴، ۳۰۵، ۳۰۶، ۳۰۷، ۳۰۸، ۳۰۹، ۳۱۰، ۳۱۱، ۳۱۲، ۳۱۳، ۳۱۴، ۳۱۵، ۳۱۶، ۳۱۷، ۳۱۸، ۳۱۹، ۳۲۰، ۳۲۱، ۳۲۲، ۳۲۳، ۳۲۴، ۳۲۵، ۳۲۶، ۳۲۷، ۳۲۸، ۳۲۹، ۳۳۰، ۳۳۱، ۳۳۲، ۳۳۳، ۳۳۴، ۳۳۵، ۳۳۶، ۳۳۷، ۳۳۸، ۳۳۹، ۳۴۰، ۳۴۱، ۳۴۲، ۳۴۳، ۳۴۴، ۳۴۵، ۳۴۶، ۳۴۷، ۳۴۸، ۳۴۹، ۳۵۰، ۳۵۱، ۳۵۲، ۳۵۳، ۳۵۴، ۳۵۵، ۳۵۶، ۳۵۷، ۳۵۸، ۳۵۹، ۳۶۰، ۳۶۱، ۳۶۲، ۳۶۳، ۳۶۴، ۳۶۵، ۳۶۶، ۳۶۷، ۳۶۸، ۳۶۹، ۳۷۰، ۳۷۱، ۳۷۲، ۳۷۳، ۳۷۴، ۳۷۵، ۳۷۶، ۳۷۷، ۳۷۸، ۳۷۹، ۳۸۰، ۳۸۱، ۳۸۲، ۳۸۳، ۳۸۴، ۳۸۵، ۳۸۶، ۳۸۷، ۳۸۸، ۳۸۹، ۳۹۰، ۳۹۱، ۳۹۲، ۳۹۳، ۳۹۴، ۳۹۵، ۳۹۶، ۳۹۷، ۳۹۸، ۳۹۹، ۴۰۰، ۴۰۱، ۴۰۲، ۴۰۳، ۴۰۴، ۴۰۵، ۴۰۶، ۴۰۷، ۴۰۸، ۴۰۹، ۴۱۰، ۴۱۱، ۴۱۲، ۴۱۳، ۴۱۴، ۴۱۵، ۴۱۶، ۴۱۷، ۴۱۸، ۴۱۹، ۴۲۰، ۴۲۱، ۴۲۲، ۴۲۳، ۴۲۴، ۴۲۵، ۴۲۶، ۴۲۷، ۴۲۸، ۴۲۹، ۴۳۰، ۴۳۱، ۴۳۲، ۴۳۳، ۴۳۴، ۴۳۵، ۴۳۶، ۴۳۷، ۴۳۸، ۴۳۹، ۴۴۰، ۴۴۱، ۴۴۲، ۴۴۳، ۴۴۴، ۴۴۵، ۴۴۶، ۴۴۷، ۴۴۸، ۴۴۹، ۴۵۰، ۴۵۱، ۴۵۲، ۴۵۳، ۴۵۴، ۴۵۵، ۴۵۶، ۴۵۷، ۴۵۸، ۴۵۹، ۴۶۰، ۴۶۱، ۴۶۲، ۴۶۳، ۴۶۴، ۴۶۵، ۴۶۶، ۴۶۷، ۴۶۸، ۴۶۹، ۴۷۰، ۴۷۱، ۴۷۲، ۴۷۳، ۴۷۴، ۴۷۵، ۴۷۶، ۴۷۷، ۴۷۸، ۴۷۹، ۴۸۰، ۴۸۱، ۴۸۲، ۴۸۳، ۴۸۴، ۴۸۵، ۴۸۶، ۴۸۷، ۴۸۸، ۴۸۹، ۴۹۰، ۴۹۱، ۴۹۲، ۴۹۳، ۴۹۴، ۴۹۵، ۴۹۶، ۴۹۷، ۴۹۸، ۴۹۹، ۵۰۰، ۵۰۱، ۵۰۲، ۵۰۳، ۵۰۴، ۵۰۵، ۵۰۶، ۵۰۷، ۵۰۸، ۵۰۹، ۵۱۰، ۵۱۱، ۵۱۲، ۵۱۳، ۵۱۴، ۵۱۵، ۵۱۶، ۵۱۷، ۵۱۸، ۵۱۹، ۵۲۰، ۵۲۱، ۵۲۲، ۵۲۳، ۵۲۴، ۵۲۵، ۵۲۶، ۵۲۷، ۵۲۸، ۵۲۹، ۵۳۰، ۵۳۱، ۵۳۲، ۵۳۳، ۵۳۴، ۵۳۵، ۵۳۶، ۵۳۷، ۵۳۸، ۵۳۹، ۵۴۰، ۵۴۱، ۵۴۲، ۵۴۳، ۵۴۴، ۵۴۵، ۵۴۶، ۵۴۷، ۵۴۸، ۵۴۹، ۵۵۰، ۵۵۱، ۵۵۲، ۵۵۳، ۵۵۴، ۵۵۵، ۵۵۶، ۵۵۷، ۵۵۸، ۵۵۹، ۵۶۰، ۵۶۱، ۵۶۲، ۵۶۳، ۵۶۴، ۵۶۵، ۵۶۶، ۵۶۷، ۵۶۸، ۵۶۹، ۵۷۰، ۵۷۱، ۵۷۲، ۵۷۳، ۵۷۴، ۵۷۵، ۵۷۶، ۵۷۷، ۵۷۸، ۵۷۹، ۵۸۰، ۵۸۱، ۵۸۲، ۵۸۳، ۵۸۴، ۵۸۵، ۵۸۶، ۵۸۷، ۵۸۸، ۵۸۹، ۵۹۰، ۵۹۱، ۵۹۲، ۵۹۳، ۵۹۴، ۵۹۵، ۵۹۶، ۵۹۷، ۵۹۸، ۵۹۹، ۶۰۰، ۶۰۱، ۶۰۲، ۶۰۳، ۶۰۴، ۶۰۵، ۶۰۶، ۶۰۷، ۶۰۸، ۶۰۹، ۶۱۰، ۶۱۱، ۶۱۲، ۶۱۳، ۶۱۴، ۶۱۵، ۶۱۶، ۶۱۷، ۶۱۸، ۶۱۹، ۶۲۰، ۶۲۱، ۶۲۲، ۶۲۳، ۶۲۴، ۶۲۵، ۶۲۶، ۶۲۷، ۶۲۸، ۶۲۹، ۶۳۰، ۶۳۱، ۶۳۲، ۶۳۳، ۶۳۴، ۶۳۵، ۶۳۶، ۶۳۷، ۶۳۸، ۶۳۹، ۶۴۰، ۶۴۱، ۶۴۲، ۶۴۳، ۶۴۴، ۶۴۵، ۶۴۶، ۶۴۷، ۶۴۸، ۶۴۹، ۶۵۰، ۶۵۱، ۶۵۲، ۶۵۳، ۶۵۴، ۶۵۵، ۶۵۶، ۶۵۷، ۶۵۸، ۶۵۹، ۶۶۰، ۶۶۱، ۶۶۲، ۶۶۳، ۶۶۴، ۶۶۵، ۶۶۶، ۶۶۷، ۶۶۸، ۶۶۹، ۶۷۰، ۶۷۱، ۶۷۲، ۶۷۳، ۶۷۴، ۶۷۵، ۶۷۶، ۶۷۷، ۶۷۸، ۶۷۹، ۶۸۰، ۶۸۱، ۶۸۲، ۶۸۳، ۶۸۴، ۶۸۵، ۶۸۶، ۶۸۷، ۶۸۸، ۶۸۹، ۶۹۰، ۶۹۱، ۶۹۲، ۶۹۳، ۶۹۴، ۶۹۵، ۶۹۶، ۶۹۷، ۶۹۸، ۶۹۹، ۷۰۰، ۷۰۱، ۷۰۲، ۷۰۳، ۷۰۴، ۷۰۵، ۷۰۶، ۷۰۷، ۷۰۸، ۷۰۹، ۷۱۰، ۷۱۱، ۷۱۲، ۷۱۳، ۷۱۴، ۷۱۵، ۷۱۶، ۷۱۷، ۷۱۸، ۷۱۹، ۷۲۰، ۷۲۱، ۷۲۲، ۷۲۳، ۷۲۴، ۷۲۵، ۷۲۶، ۷۲۷، ۷۲۸، ۷۲۹، ۷۳۰، ۷۳۱، ۷۳۲، ۷۳۳، ۷۳۴، ۷۳۵، ۷۳۶، ۷۳۷، ۷۳۸، ۷۳۹، ۷۴۰، ۷۴۱، ۷۴۲، ۷۴۳، ۷۴۴، ۷۴۵، ۷۴۶، ۷۴۷، ۷۴۸، ۷۴۹، ۷۵۰، ۷۵۱، ۷۵۲، ۷۵۳، ۷۵۴، ۷۵۵، ۷۵۶، ۷۵۷، ۷۵۸، ۷۵۹، ۷۶۰، ۷۶۱، ۷۶۲، ۷۶۳، ۷۶۴، ۷۶۵، ۷۶۶، ۷۶۷، ۷۶۸، ۷۶۹، ۷۷۰، ۷۷۱، ۷۷۲، ۷۷۳، ۷۷۴، ۷۷۵، ۷۷۶، ۷۷۷، ۷۷۸، ۷۷۹، ۷۸۰، ۷۸۱، ۷۸۲، ۷۸۳، ۷۸۴، ۷۸۵، ۷۸۶، ۷۸۷، ۷۸۸، ۷۸۹، ۷۹۰، ۷۹۱، ۷۹۲، ۷۹۳، ۷۹۴، ۷۹۵، ۷۹۶، ۷۹۷، ۷۹۸، ۷۹۹، ۸۰۰، ۸۰۱، ۸۰۲، ۸۰۳، ۸۰۴، ۸۰۵، ۸۰۶، ۸۰۷، ۸۰۸، ۸۰۹، ۸۱۰، ۸۱۱، ۸۱۲، ۸۱۳، ۸۱۴، ۸۱۵، ۸۱۶، ۸۱۷، ۸۱۸، ۸۱۹، ۸۲۰، ۸۲۱، ۸۲۲، ۸۲۳، ۸۲۴، ۸۲۵، ۸۲۶، ۸۲۷، ۸۲۸، ۸۲۹، ۸۳۰، ۸۳۱، ۸۳۲، ۸۳۳، ۸۳۴، ۸۳۵، ۸۳۶، ۸۳۷، ۸۳۸، ۸۳۹، ۸۴۰، ۸۴۱، ۸۴۲، ۸۴۳، ۸۴۴، ۸۴۵، ۸۴۶، ۸۴۷، ۸۴۸، ۸۴۹، ۸۵۰، ۸۵۱، ۸۵۲، ۸۵۳، ۸۵۴، ۸۵۵، ۸۵۶، ۸۵۷، ۸۵۸، ۸۵۹، ۸۶۰، ۸۶۱، ۸۶۲، ۸۶۳، ۸۶۴، ۸۶۵، ۸۶۶، ۸۶۷، ۸۶۸، ۸۶۹، ۸۷۰، ۸۷۱، ۸۷۲، ۸۷۳، ۸۷۴، ۸۷۵، ۸۷۶، ۸۷۷، ۸۷۸، ۸۷۹، ۸۸۰، ۸۸۱، ۸۸۲، ۸۸۳، ۸۸۴، ۸۸۵، ۸۸۶، ۸۸۷، ۸۸۸، ۸۸۹، ۸۹۰، ۸۹۱، ۸۹۲، ۸۹۳، ۸۹۴، ۸۹۵، ۸۹۶، ۸۹۷، ۸۹۸، ۸۹۹، ۹۰۰، ۹۰۱، ۹۰۲، ۹۰۳، ۹۰۴، ۹۰۵، ۹۰۶، ۹۰۷، ۹۰۸، ۹۰۹، ۹۱۰، ۹۱۱، ۹۱۲، ۹۱۳، ۹۱۴، ۹۱۵، ۹۱۶، ۹۱۷، ۹۱۸، ۹۱۹، ۹۲۰، ۹۲۱، ۹۲۲، ۹۲۳، ۹۲۴، ۹۲۵، ۹۲۶، ۹۲۷، ۹۲۸، ۹۲۹، ۹۳۰، ۹۳۱، ۹۳۲، ۹۳۳، ۹۳۴، ۹۳۵، ۹۳۶، ۹۳۷، ۹۳۸، ۹۳۹، ۹۴۰، ۹۴۱، ۹۴۲، ۹۴۳، ۹۴۴، ۹۴۵، ۹۴۶، ۹۴۷، ۹۴۸، ۹۴۹، ۹۵۰، ۹۵۱، ۹۵۲، ۹۵۳، ۹۵۴، ۹۵۵، ۹۵۶، ۹۵۷، ۹۵۸، ۹۵۹، ۹۶۰، ۹۶۱، ۹۶۲، ۹۶۳، ۹۶۴، ۹۶۵، ۹۶۶، ۹۶۷، ۹۶۸، ۹۶۹، ۹۷۰، ۹۷۱، ۹۷۲، ۹۷۳، ۹۷۴، ۹۷۵، ۹۷۶، ۹۷۷، ۹۷۸، ۹۷۹، ۹۸۰، ۹۸۱، ۹۸۲، ۹۸۳، ۹۸۴، ۹۸۵، ۹۸۶، ۹۸۷، ۹۸۸، ۹۸۹، ۹۹۰، ۹۹۱، ۹۹۲، ۹۹۳، ۹۹۴، ۹۹۵، ۹۹۶، ۹۹۷، ۹۹۸، ۹۹۹، ۱۰۰۰، ۱۰۰۱، ۱۰۰۲، ۱۰۰۳، ۱۰۰۴، ۱۰۰۵، ۱۰۰۶، ۱۰۰۷، ۱۰۰۸، ۱۰۰۹، ۱۰۱۰، ۱۰۱۱، ۱۰۱۲، ۱۰۱۳، ۱۰۱۴، ۱۰۱۵، ۱۰۱۶، ۱۰۱۷، ۱۰۱۸، ۱۰۱۹، ۱۰۲۰، ۱۰۲۱، ۱۰۲۲، ۱۰۲۳، ۱۰۲۴، ۱۰۲۵، ۱۰۲۶، ۱۰۲۷، ۱۰۲۸، ۱۰۲۹، ۱۰۳۰، ۱۰۳۱، ۱۰۳۲، ۱۰۳۳، ۱۰۳۴، ۱۰۳۵، ۱۰۳۶، ۱۰۳۷، ۱۰۳۸، ۱۰۳۹، ۱۰۴۰، ۱۰۴۱، ۱۰۴۲، ۱۰۴۳، ۱۰۴۴، ۱۰۴۵، ۱۰۴۶، ۱۰۴۷، ۱۰۴۸، ۱۰۴۹، ۱۰۵۰، ۱۰۵۱، ۱۰۵۲، ۱۰۵۳، ۱۰۵۴، ۱۰۵۵، ۱۰۵۶، ۱۰۵۷، ۱۰۵۸، ۱۰۵۹، ۱۰۶۰، ۱۰۶۱، ۱۰۶۲، ۱۰۶۳، ۱۰۶۴، ۱۰۶۵، ۱۰۶۶، ۱۰۶۷، ۱۰۶۸، ۱۰۶۹، ۱۰۷۰، ۱۰۷۱، ۱۰۷۲، ۱۰۷۳، ۱۰۷۴، ۱۰۷۵، ۱۰۷۶، ۱۰۷۷، ۱۰۷۸، ۱۰۷۹، ۱۰۸۰، ۱۰۸۱، ۱۰۸۲، ۱۰۸۳، ۱۰۸۴، ۱۰۸۵، ۱۰۸۶، ۱۰۸۷، ۱۰۸۸، ۱۰۸۹، ۱۰۹۰، ۱۰۹۱، ۱۰۹۲، ۱۰۹۳، ۱۰۹۴، ۱۰۹۵، ۱۰۹۶، ۱۰۹۷، ۱۰۹۸، ۱۰۹۹، ۱۱۰۰، ۱۱۰۱، ۱۱۰۲، ۱۱۰۳، ۱۱۰۴، ۱۱۰۵، ۱۱۰۶، ۱۱۰۷، ۱۱۰۸، ۱۱۰۹، ۱۱۱۰، ۱۱۱۱، ۱۱۱۲، ۱۱۱۳، ۱۱۱۴، ۱۱۱۵، ۱۱۱۶، ۱۱۱۷، ۱۱۱۸، ۱۱۱۹، ۱۱۲۰، ۱۱۲۱، ۱۱۲۲، ۱۱۲۳، ۱۱۲۴، ۱۱۲۵، ۱۱۲۶، ۱۱۲۷، ۱۱۲۸، ۱۱۲۹، ۱۱۳۰، ۱۱۳۱، ۱۱۳۲، ۱۱۳۳، ۱۱۳۴، ۱۱۳۵، ۱۱۳۶، ۱۱۳۷، ۱۱۳۸، ۱۱۳۹، ۱۱۴۰، ۱۱۴۱، ۱۱۴۲، ۱۱۴۳، ۱۱۴۴، ۱۱۴۵، ۱۱۴۶، ۱۱۴۷، ۱۱۴۸، ۱۱۴۹، ۱۱۵۰، ۱۱۵۱، ۱۱۵۲، ۱۱۵۳، ۱۱۵۴، ۱۱۵۵، ۱۱۵۶، ۱۱۵۷، ۱۱۵۸، ۱۱۵۹، ۱۱۶۰، ۱۱۶۱، ۱۱۶۲، ۱۱۶۳، ۱۱۶۴، ۱۱۶۵، ۱۱۶۶، ۱۱۶۷، ۱۱۶۸، ۱۱۶۹، ۱۱۷۰، ۱۱۷۱، ۱۱۷۲، ۱۱۷۳، ۱۱۷۴، ۱۱۷۵، ۱۱۷۶، ۱۱۷۷، ۱۱۷۸، ۱۱۷۹، ۱۱۸۰، ۱۱۸۱، ۱۱۸۲، ۱۱۸۳، ۱۱۸۴، ۱۱۸۵، ۱۱۸۶، ۱۱۸۷، ۱۱۸۸، ۱۱۸۹، ۱۱۹۰، ۱۱۹۱، ۱۱۹۲، ۱۱۹۳، ۱۱۹۴، ۱۱۹۵، ۱۱۹۶، ۱۱۹۷، ۱۱۹۸، ۱۱۹۹، ۱۲۰۰، ۱۲۰۱، ۱۲۰۲، ۱۲۰۳، ۱۲۰۴، ۱۲۰۵، ۱۲۰۶، ۱۲۰۷، ۱۲۰۸، ۱۲۰۹، ۱۲۱۰، ۱۲۱۱، ۱۲۱۲، ۱۲۱۳، ۱۲۱۴، ۱۲۱۵، ۱۲۱۶، ۱۲۱۷، ۱۲۱۸، ۱۲۱۹، ۱۲۲۰، ۱۲۲۱، ۱۲۲۲، ۱۲۲۳، ۱۲۲۴، ۱۲۲۵، ۱۲۲۶، ۱۲۲۷، ۱۲۲۸، ۱۲۲۹، ۱۲۳۰، ۱۲۳۱، ۱۲۳۲، ۱۲۳۳، ۱۲۳۴، ۱۲۳۵، ۱۲۳۶، ۱۲۳۷، ۱۲

مختلف از یک واقعه رگبار تا مقیاس زمانی ماهانه یا سالانه را فراهم می‌آورد. اما، محدودیت استفاده از پلات‌ها مواردی نظیر نیاز به نگهداری و سرکشی مداوم و همچنین مشکل مسدود شدن مخزن ورودی رواناب و رسوب (بارگیری رسوب) می‌باشد. در نتیجه استفاده از پلات‌ها برای برآورد فرسایش سالانه مشکل، هزینه بر و زمان بر خواهد بود. روش دیگر استفاده از بین‌های فرسایشی است که در مطالعات گذشته به عنوان یک ابزار ساده و کارآمد بکار گرفته شده است (۴۲،۴۱،۳۶،۱۱،۱۷،۲۴،۳۹).

استفاده از بین‌های فرسایشی در قیاس با استفاده از پلات‌ها آسان‌تر و کم هزینه‌تر بوده و سرعت و سهولت استقرار از ویژگی‌های این روش می‌باشد. از طرفی، بکارگیری این روش برای برآورد مقادیر فرسایش خاک در مقیاس زمانی کوچک (یک واقعه رگبار یا روزهای خاص) مشکل بوده و برای مقیاس زمانی بلند مدت نظیر فرسایش سالانه مناسب و کارآمد می‌باشد (۲۲،۲۸،۲۰،۱۸،۱۷،۱۱،۴). بنابراین، در فرآیند اندازه‌گیری فرسایش خاک می‌توان با استقرار بین‌های فرسایشی یا پلات‌های صحرایی در سطوح مختلف یک دامنه در طی یک سال مقادیر فرسایش حاصل از اشکال مختلف فرسایشی را برآورد نمود.

محدودیت اصلی استفاده از بین‌ها این است که نمی‌توان از آنها در مقیاس زمانی کوتاه مدت برای نمونه یک واقعه رگبار استفاده کرد. کارایی آنها بیشتر برای ارزیابی فرسایش در مقیاس زمانی ماهانه و سالانه می‌باشد. همچنین، مزیت اصلی آنها سرعت عمل، هزینه پایین و آسانی کار با آنها می‌باشد. مطالعات گذشته دلالت بر موارد مذکور و تناسب بین‌های فرسایشی برای اندازه‌گیری فرسایش خاک در اراضی شیبدار مرتعی دارد. از طرفی می‌توان گفت که انتخاب نوع تکنیک یا روش اندازه‌گیری بستگی به شکل فرسایش، اهداف و دقت اندازه‌گیری دارد (۴۲،۴۱،۱۷،۲۲). مطالعات متعددی در زمینه اندازه‌گیری اشکال مختلف فرسایش خاک بوسیله بین‌های فرسایشی انجام پذیرفته است. هدف از این مطالعه تلفیق قابلیت‌های شبکه عصبی و سیستم اطلاعات جغرافیایی جهت مدل‌سازی و ارائه یک روش کارآمد (دقت مناسب، سرعت بالا و هزینه کم) در برآورد مقادیر فرسایش خاک به عنوان ابزاری برای برنامه‌ریزی در راستای طرح‌های حفاظت خاک مراتع می‌باشد.

مواد و روش‌ها

معرفی مرتع مورد مطالعه

دامنه‌های مطالعاتی در محدوده طول شرقی $53^{\circ} 05'$ تا $53^{\circ} 10'$ و عرض شمالی $35^{\circ} 05'$ تا $37^{\circ} 10'$ در شمال کشور ایران واقع شده است. منطقه مطالعاتی با مساحتی حدود چهار کیلومتر مربع و در محدوده روستای دادوکلا در حوضه کسلبان شهرستان سوادکوه واقع شده و دارای اقلیم نیمه مرطوب می‌باشد (۱۱) و بارش متوسط سالانه برابر با ۶۰۰ میلی‌متر و دمای متوسط سالانه ۱۰ درجه سانتی‌گراد است. الگوی غالب بارش در منطقه باران بوده و به ندرت برف می‌بارد. متوسط شیب دامنه‌های مطالعاتی ۱۷ درجه بوده و کاربری اراضی مطالعاتی بیشتر شامل مراتع فقیر و قسمت

نرم‌افزارهای متعدد، می‌توانیم اقدام به شبیه‌سازی داده‌ها با در نظر گرفتن تمامی عوامل تأثیرگذار در مدت زمانی کوتاه، با دقت بالا و با هزینه کمتر نماییم. در مطالعات دهه‌های اخیر، برآورد ویژگی‌های گیاهی با استفاده از مدل‌ها متداول شده است. شبکه عصبی مصنوعی (ANN)^۱ ابزاری کارآمد در مدل‌سازی و برآورد پارامترهای محیطی می‌باشد (۴۰،۲۹). اما این شبکه قابلیت ارائه نتایج بصورت زمین مرجع و گرافیک را ندارد و این امر بکارگیری نتایج را برای عموم متخصصان دشوار و محدود می‌نماید. از طرفی، سیستم اطلاعات جغرافیایی (GIS)^۲ یک سامانه قدرتمند در مدیریت و پردازش داده‌های مکانی می‌باشد. این سامانه بطور گسترده‌ای در علوم مختلف جهت ذخیره داده‌ها، تلفیق داده‌ها و انجام مطالعات بکار گرفته شده است. اما، این سامانه فقط توان مدل‌سازی‌های فیزیکی و یا اجرای مدل‌های اعتباریابی شده را دارا است (۲۲). بنابراین، با تلفیق قابلیت‌های شبکه عصبی مصنوعی (مدلسازی) و سیستم اطلاعات جغرافیایی (پردازش داده‌های زمین مرجع)، نتایج یک مدل‌سازی دقیق، بصورت گرافیکی زمین مرجع ارائه خواهد شد. شبکه‌های عصبی مصنوعی به عنوان مدلی برای پردازش و تجزیه و تحلیل داده‌ها برای مسائلی به کار می‌روند که بتوان آن‌ها را تا حد یک مسئله ساده طبقه‌بندی کرد (۸،۱۳). پژوهش حاضر توانایی شبکه عصبی مصنوعی و سیستم اطلاعات جغرافیایی را برای مدل‌سازی فرسایش خاک در اراضی شیبدار مرتعی بررسی خواهد نمود. مطالعات متعددی در زمینه عوامل موثر در پارامترهای مراتع و همچنین مدل‌سازی این پارامترها در سطح دنیا انجام شده است. طهماسی و همکاران (۴۶)، در تحقیقات خود به این نتیجه رسیدند که شبکه‌های عصبی مصنوعی در واقع سیستم‌های موازی هستند که می‌توان از آن‌ها برای تشخیص الگوهای پیچیده در میان داده‌ها استفاده نمود. زارع پور و همکاران (۵۰)، در پژوهشی در رابطه با کاربرد شبکه عصبی مصنوعی، بیان نمودند که ساختار شبکه عصبی مصنوعی به گونه‌ای است که قابلیت حل مسئله را بدون کمک فرد متخصص و برنامه‌ریزی خارجی دارند. از این رو شبکه‌های عصبی مصنوعی، قادر به یافتن الگوهایی در اطلاعات هستند که هیچ‌کس از وجود آن‌ها اطلاع نداشته است. شکراللهی و همکاران (۴۲)، با بررسی اثر ویژگی‌های خاک و عوامل فیزیوگرافی بر پوشش گیاهی مراتع بیلاقی پلور دریافتند که درصد پوشش تاجی و تراکم گونه‌های گیاهی متأثر از خصوصیات فیزیوگرافی و عامل‌های خاک می‌باشد. به طوری که از بین عوامل فیزیوگرافی جهت دامنه و شیب با پوشش تاجی و تراکم پوشش گیاهی رابطه قوی دارند.

روش‌های متعددی برای اندازه‌گیری مقادیر فرسایش خاک در روی دامنه‌ها وجود دارد که از جمله روش‌های متداول استفاده از پلات‌های صحرایی، بین‌های فرسایشی و یا استفاده از مدل‌های تجربی می‌باشد. استفاده از پلات‌های فرسایشی برای برآورد مقادیر فرسایش خاک یا رواناب حاصل از وقایع بارش مشخص یا در یک بازه معین زمانی کاربرد دارد. استفاده از پلات‌ها یک برآورد دقیق با حق انتخاب در بازه‌های زمانی

به نوعی قرق طبیعی اجرا گردد. دامنه مطالعاتی بخشی از حوضه معرف زوجی کسپلیان با حداقل تردد و چرای دام بوده است. در سطح این دامنه‌های مطالعاتی پین‌های فرسایشی جهت انجام مطالعات برآورد فرسایش خاک استقرار یافت (شکل ۱).

محدودی اراضی جنگلی و زراعت دیم می‌باشد. عمق متوسط خاک دامنه‌های مطالعاتی حدود ۶۰ سانتی‌متر و عموماً دارای بافت خاک لومی رسومی می‌باشند. در سطح محدوده مطالعاتی دامنه‌ای با طول تقریبی ۱۰۰۰ متر با کاربری مرتع در طول شیب انتخاب گردید. دامنه مذکور در مکانی به دور از مناطق مسکونی و جاده‌ها و با دسترسی سخت انتخاب شد تا



شکل ۱- موقعیت اراضی شیبدار مطالعاتی (کاربری مرتعی) و پین‌های استقرار یافته در سطح استان مازندران و ایران
Figure 1. Location of the study hillslopes (rangelands) in Mazandaran province and Iran

برآورده است) اندازه‌گیری گردید. در دامنه‌های مطالعاتی اشکال فرسایش پاشمانی و سطحی مشاهده می‌گردد و فرسایش آبراهه‌های مورد مطالعه قرار نگرفته است. در نهایت، پین‌ها بیانگر مقدار فرسایش (مجموع پاشمان و فرسایش سطحی) صورت پذیرفته است همچنین، در سطح دامنه‌های مطالعاتی با تعیین واحدهای خاکشناسی و حفر پروفیل‌های خاکشناسی، نقشه خاکشناسی (بافت خاک) تهیه شد. واحدهای خاکشناسی از تلفیق نقشه‌های زمین شناسی و واحدهای ژئومورفوزیک (کوهستان، تپه، دره آبرفتی) تعیین شده و سپس در سطح هر واحد خاکشناسی (زمین شناسی و ژئومورفولوژی یکسان) مکان مناسب حفر پروفیل شاهد تعیین شد (۴۳). نوع بافت خاک (مقادیر رس، سیلت و شن) و همچنین وزن مخصوص خاک در آزمایشگاه خاکشناسی تعیین شد و مقدار متوسط وزن مخصوص ظاهری خاک دامنه مطالعاتی ۱/۴ تن در مترمکعب برآورد گشت. پس از تعیین مقادیر یا ارتفاع فرسایش با اعمال وزن مخصوص در سطح یک مترمربع، میزان فرسایش سالانه خاک بر حسب کیلوگرم در مترمربع برآورد شد.

از طرفی، تعدادی پین زوجی بصورت پراکنده در روی دامنه‌هایی با کاربری مرتعی و زراعت دیم در مکان‌های با شدت فرسایش بالاتر از سایر سطوح، جهت ارزیابی کارایی متدولوژی تحقیق حاضر استقرار یافت و مقادیر فرسایش سالانه آنها نیز تعیین شد (۴۴).

برآورد مقادیر فرسایش سالانه خاک با استقرار پین‌های فرسایشی

در تحقیق حاضر از پین‌های فرسایشی ۲۰ سانتی‌متری فلزی برای برآورد مقادیر سالانه فرسایش خاک استفاده گردید. یک دامنه‌ای بطور تقریبی یک کیلومتر در محدوده مطالعاتی برای استقرار پین‌های فرسایشی جهت مدلسازی انتخاب شد که دارای تغییرات محسوس شدت فرسایش، شیب، شکل شیب، پوشش گیاهی و خصوصیات خاک می‌باشد. به منظور اندازه‌گیری فرسایش خاک، عمق نصب پین‌های فرسایشی در خاک (۱۳ سانتی‌متری) بطور دقیق تعیین و رنگ آمیزی گردید (شکل ۲). تعداد ۱۰۹ پین در عرصه مطالعاتی در فروردین سال ۱۳۹۷ در امتداد شیب دامنه از بالادست به سمت پایین دست استقرار یافتند. فواصل تقریبی پین‌ها حدود ۱۰ متر بوده است، اما مکان استقرار آنها براساس تغییرات در شدت فرسایش و تغییرات در توپوگرافی و پوشش گیاهی انتخاب گردید به‌طوری‌که پین‌های فرسایش در تمامی طبقات شدت فرسایش خاک، شیب زمین و درصد های تاج پوشش گیاهی استقرار یافته‌اند. تعیین فواصل بین پین‌ها در استقرار و فواصل زمانی ثبت یا اندازه‌گیری فرسایش متغیر بوده و بستگی به هدف مطالعات و دقت مورد نظر دارد (۴). یکسال بعد از استقرار پین‌ها، در فروردین ماه ۱۳۹۸ مقادیر هدررفت خاک در تمامی پین‌ها از طریق میزان کاهش یا پایین رفتن سطح خاک از سرپین (فاصله سر پین تا خاک ۷ سانتی‌متر

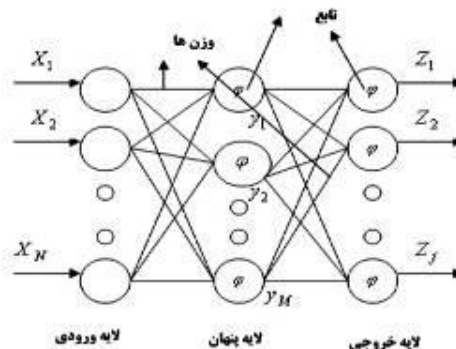


شکل ۲- تصویری از بین‌های فرسایشی استقرار یافته بر روی دامنه شیب دار مرتعی (سرپوش قرمز جهت شناسایی می‌باشد)
Figure 2. A view of the palced erosion pins on the rangeland hillslope (red cap for identification)

پرسپترون تک لایه ساخته می‌شود و این توپولوژی توانایی حل مسائل پیچیده را دارد (۴۵). مدل عمومی شبکه پرسپترون چند لایه، شبکه جلو رونده (FF) با روال تعلیم انتشار به عقب می‌باشد (PT). شبکه جلورونده، شبکه‌ای است که ورودی‌های لایه اول نرون‌های آن به لایه بعدی متصل است و در هر سطح این امر صدق می‌کند تا به لایه خروجی برسد. انتشار به عقب به این معنی است که پس از رسیدن به خروجی شبکه، ابتدا وزن‌های لایه آخر تصحیح شده و بعد به ترتیب وزن‌های لایه‌های قبلی تصحیح می‌گردند.

برآورد فرسایش سالانه خاک با استفاده از شبکه عصبی

شبکه‌های عصبی مصنوعی متشکل از سه لایه است. لایه ورودی که داده‌ها را در شبکه توزیع می‌کند، لایه پنهان که داده‌ها را پردازش می‌نماید و لایه خروجی که نتایج را به ازای ورودی‌های مشخص، استخراج می‌نماید. یک شبکه می‌تواند چندین لایه پنهان داشته باشد (۲۹، ۳۰). در تحقیق حاضر شبکه پرسپترون چندلایه یا MLP^۱ برای شبیه‌سازی درصد تاج پوشش مرتعی استفاده شده است (شکل ۳). شبکه پرسپترون چند لایه با افزودن یک یا چند لایه پنهان، به شبکه



شکل ۳- ساختار شبکه عصبی چند لایه
Figure 3. Multi-layer network structure

نتیجه حرکت کنند. روند آموزش شبکه به طور معمول به دو گونه متفاوت الگو به الگو (حالت متوالی) و گروهی (حالت دسته‌ای) انجام می‌شود. تجربه نشان داده که روش دوم به نتایج بهتری می‌رسد (۳۱، ۳۸، ۴۶). اما، بهتر است این مقادیر به گونه‌ای گزینش شوند که موجب سرعت بیشتر آموزش و همگرایی بهتر مسأله موردنظر گردد. مبنای تصمیم‌گیری برای انتخاب بهترین شبکه در هر بار اجرای برنامه، ضریب همبستگی (R) و متوسط قدر مطلق خطا (MSE) بوده است. برای تعیین معماری بهینه شبکه از روش سعی و خطا و انجام آزمون‌های مختلف، شبکه‌ای که کمترین میزان خطا و بیشترین کارایی را دارد انتخاب گردید. در تعیین معماری بهینه سعی گشته از ساختارهای ساده با تعداد ورودی‌های موثر استفاده شود (۱۵). هدف از آموزش شبکه دستیابی به

برای ارائه ساختار بهینه شبکه عصبی و اعتباریابی آن داده‌ها به سه دسته تقسیم شدند. ۶۵ درصد داده‌ها برای آموزش، ۱۰ درصد برای مرحله صحت سنجی یا Cross Validation و حدود ۲۵ درصد برای مرحله تست یا اعتباریابی تفکیک شدند. مقایسه نتایج در مرحله آموزش (آزمون و خطا)، استفاده از تابع انتقال تانژانت هیپربولیک را بعنوان گزینه مناسب تعیین نمود. همچنین، با آزمون و خطا و ارزیابی کارایی هر یک از تکنیک‌ها، تکنیک یادگیری LM یا لوبنرگ مارکوات به‌عنوان تکنیک یادگیری بهینه انتخاب گردید. آموزش شبکه یکی از گام‌های مهم در مدلسازی با شبکه عصبی تلقی می‌گردد که در واقع همان فرآیند بروز رسانی ضرایب وزنی در لایه‌های میانی و خروجی است. نرون‌ها باید از اشتباهات خود درس گرفته و در جهت بهبود

شبکه‌ای است که بتواند روابط بین ورودی و خروجی مدل را بهبود بخشد. به علت اینکه قوانین خاصی جهت طراحی شبکه‌های عصبی مصنوعی، موجود نیست، ساختارهای مختلفی مورد بررسی قرار گرفت.

در این تحقیق ابتدا اطلاعات گسترده‌ای از جمله نقشه‌های توپوگرافی، درصد تاج پوشش مرتعی و خاکشناسی تهیه شدند. در ابتدای کار با استفاده از نقشه‌های توپوگرافی با مقیاس ۱:۲۵۰۰۰ سازمان نقشه‌برداری کشور و قابلیت‌های سیستم اطلاعات جغرافیایی لایه یا نقشه مدل ارتفاعی رقومی (DEM) و نقشه شیب، طول شیب و شکل شیب (میزان انحناء) دامنه‌های مطالعاتی تهیه گردید. در نهایت لایه‌های رستری زمین مرجع حاوی درصد تاج پوشش مرتعی، شکل شیب، میزان شیب، طول شیب و خصوصیات خاک (درصد رس، سیلت و شن) برای هر سلول ارائه گشت.

ورودی‌های شبکه جهت مدلسازی شامل میزان درصد تاج پوشش مرتعی، شکل شیب، میزان شیب، طول شیب و خصوصیات خاک (درصد رس، سیلت و شن) بوده‌اند. برای هر یک از دامنه‌های مورد مطالعه، درصد تاج پوشش مرتعی با پلات‌گذاری و مطالعات میدانی برآورد گردید و به‌عنوان یکی از ورودی‌های شبکه عصبی در نظر گرفته شد. خلاصه‌ای از ورودی‌ها (عوامل موثر در فرسایش) و خروجی شبکه (مقادیر فرسایش) در جدول شماره (۱) ارائه شده است.

داده‌های ورودی (عوامل موثر در فرسایش خاک) و خروجی (مقادیر فرسایش خاک) به محیط از نرم‌افزار NeuroSolutions برای مدلسازی وارد شدند. برای آموزش و سپس تست کارایی یک شبکه عصبی، انتخاب تعداد و نوع پارامترهای ورودی به مدل از اهمیت بسیاری برخوردار است (۷). پس از ورود داده‌ها به محیط شبکه عصبی، ابتدا داده‌ها نرمال و رندومایز شدند. سپس داده‌ها به سه دسته: داده‌های آموزش، داده‌های صحت سنجی و داده‌های تست یا اعتباریابی تقسیم شدند. شبکه مورد استفاده پرسپترون چندلایه بوده که جهت تعیین ساختار بهینه شبکه شامل تابع انتقال بهینه، تکنیک یادگیری بهینه، تعداد نرون بهینه و ورودی‌های بهینه از روش آزمون و خطا استفاده شد. در هر یک از مراحل، شبکه با تغییر یکی از گزینه‌های مختلف یکی از اجزای مذکور و داده‌های ثابت اجرا می‌شد و کارایی شبکه با ارزیابی مقادیر خطا و مقایسه مقادیر برآوردی و مشاهداتی بررسی می‌گشت و جزء بهینه آن گزینه‌هایی می‌بود که کارایی شبکه را افزایش دهد. بنابراین، با روش آزمون و خطا و ارزیابی کارایی شبکه براساس مقادیر شاخص‌های خطا و همچنین مقایسه مقادیر شبیه‌سازی شده و مقادیر مشاهداتی، انتخاب گزینه مناسب‌تر و در نهایت ارزیابی کارایی شبکه در دو مرحله آموزش و تست ارزیابی گردید (۱۵).

تلفیق قابلیت‌های شبکه عصبی و سیستم اطلاعات جغرافیایی

شبکه عصبی قابلیت بالایی در شبیه‌سازی مقادیر کمی پارامترهای محیطی دارد، اما در ارائه نتایج به شکل گرافیکی و به‌خصوص گرافیکی زمین مرجع دارای محدودیت است. در تحقیق حاضر از تلفیق قابلیت‌های شبکه عصبی و سیستم

اطلاعات جغرافیایی برای مدلسازی فرسایش خاک استفاده گردید. شبکه عصبی به‌عنوان سامانه‌ای برای شبیه‌سازی و سیستم اطلاعات جغرافیایی به‌عنوان سامانه پیش پردازنده و پس پردازنده داده‌ها بکار گرفته شد. ابتدا عوامل کمی پارامترهای ورودی مدل شامل میزان پوشش گیاهی، شکل شیب، میزان شیب، طول شیب و خصوصیات خاک در محیط سیستم اطلاعات جغرافیایی برای ۱۰۹ پین فرسایشی مطالعه‌ای برآورد شد. پس از کمی نمودن داده‌ها، مدلسازی در محیط شبکه عصبی با هدف شبیه‌سازی مقادیر سالانه فرسایش خاک انجام پذیرفت. در این مرحله، آموزش داده‌ها و سپس تست یا اعتباریابی شبکه انجام پذیرفت و در نهایت شبکه عصبی بهینه اعتباریابی شده ارائه شد. در گام بعدی، سیستم اطلاعات جغرافیایی نقش پیش پردازنده را ایفاء خواهد نمود. هدف از تحقیق، استفاده از شبکه عصبی برای شبیه‌سازی فرسایش خاک برای مکان‌های فاقد آمار آن هم به‌صورت گرافیکی زمین مرجع می‌باشد. بر اساس نتایج، ساختار بهینه شبکه عصبی برای شبیه‌سازی مقادیر فرسایش نیاز به ورودی‌های میزان پوشش گیاهی، شکل شیب، میزان شیب، طول شیب، درصد رس و شن خاک دارد. در این مرحله، لایه‌های رستری عوامل مذکور تهیه شدند و با آنالیز همپوشانی با پیکسل سائز ده در ده متر با یکدیگر تلفیق شدند. آنچه مسلم هست اندازه شبکه سلولی را می‌توان کوچک‌تر در نظر گرفت، اما تعداد خیلی زیاد پیکسل‌ها، محدودیت اجرای شبیه‌سازی در محیط نرم‌افزار شبکه عصبی را همراه خواهد داشت. داده‌های این پیکسل‌ها (ورودی‌های مدل) و مختصات که به‌طور خودکار برای هر پیکسل درج شده بود از محیط GIS خروجی گرفته شد و به محیط شبکه عصبی وارد گشت. در محیط شبکه عصبی با بکارگیری شبکه بهینه اعتباریابی شده، مقادیر سالانه فرسایش خاک برای تمامی پیکسل‌ها یا مکان‌های فاقد داده فرسایش برآورد شد. سپس، مقادیر فرسایش خاک برآوردی به همراه مختصات از محیط شبکه عصبی به محیط اطلاعات جغرافیایی وارد گشت. در این مرحله سیستم اطلاعات جغرافیایی نقش پس پردازنده را ایفا می‌نماید. مقادیر فرسایش خاک بواسطه مختصات (عامل کمی برای تشخیص موقعیت جغرافیایی) همراه با آن و قابلیت‌های سیستم اطلاعات جغرافیایی به صورت لایه رستری میزان فرسایش خاک اراضی شیبدار مرتعی ارائه شد. همچنین، مقادیر فرسایش خاک مشاهداتی یازده پین پراکنده که در فرآیند مدلسازی و تست استفاده نشده بود بر روی لایه رستری فرسایش خاک شبیه‌سازی شده همپوشانی شد تا صحت و دقت نتایج از طریق مقایسه اعداد مقادیر شبیه‌سازی شده و مقادیر واقعی ارزیابی و تأیید گردد. در نهایت، لایه میزان فرسایش خاک پس از طبقه بندی بصورت نقشه پهنه بندی فرسایش سالانه خاک ارائه گشت. در تحقیق حاضر با استفاده از داده‌های پین‌های فرسایشی و تلفیق قابلیت‌های شبکه عصبی و GIS، شبیه‌سازی با دقت و سرعت عمل بالا در سطحی وسیع انجام شد و نتایج بصورت زمین مرجع گرافیکی (نقشه) ارائه شد (۱۳).

نتایج و بحث

پوشش دامنه مطالعاتی عمدتاً شامل گونه‌های مرغ و علف پیازدار، افوربیا و بصورت پراکنده گونه درختچه ای پیرو با درصد تاج پوشش متغیر بین ۱۰ تا ۱۰۰ درصد بوده است. با استقرار پین‌های فرسایشی در سطح دامنه‌های مطالعاتی اقدام به برآورد مقادیر فرسایش سالانه خاک شد. پس از گذر یکسال از استقرار پین‌ها، مقادیر هدر رفت خاک در مکان پین‌ها بطور دقیق برآورد شد. بر اساس نتایج مقادیر اندازه گیری شده فرسایش خاک در دامنه مطالعاتی بین ۰ تا ۳۳/۶ کیلوگرم در مترمربع در سال متغیر بوده است. همچنین مقدار متوسط فرسایش خاک در طول دامنه مطالعاتی حدود ۹/۴ کیلوگرم بر مترمربع در سال یا ۹/۴ تن در هکتار در سال برآورد شد. همچنین با تعیین ضرایب همبستگی میزان مشارکت هر یک از عوامل موثر در فرسایش خاک و نوع رابطه آنها با فرسایش خاک بررسی شده و نتایج آن در جدول شماره ۲ ارائه شده است. مهم‌ترین نتیجه این بخش از مطالعات این است که در دامنه‌های مطالعاتی تغییرات پوشش گیاهی و شکل شیب مهم‌ترین عوامل تأثیرگذار در میزان فرسایش خاک بوده است. لازم به ذکر است الگوی قالب بارش این منطقه باران بوده و وقوع رگبارهای شدید کوتاه مدت بوفور اتفاق می‌افتاد (۱۵). به‌علاوه، بررسی شکل شیب یا پارامتر انحنای شیب نشان داد که شیب‌های مقعر محل به تله افتادن خاک‌های فرسایش یافته یا رسوبات بالادست و شیب‌های محدب محل فرسایش بیشتر می‌باشند (۱۰).

در تحقیق حاضر شبکه MLP بکارگیری روش آزمون و خطا، ساختار بهینه شبکه (ورودی‌های بهینه، تابع انتقال بهینه، تکنیک یادگیری بهینه، تعداد دور آموزش بهینه و تعداد نرون بهینه) تعیین شد. نتایج نهایی آموزش شبکه عصبی بکار رفته در فرآیند مدلسازی فرسایش خاک در جدول شماره (۳) ارائه شده است. در این جدول پارامترهای آماری نظیر مقادیر خطا و ضریب تبیین در مرحله آموزش و صحت سنجی شبکه‌های عصبی ارائه شده است. آنچه مسلم است اختلاف در کارایی شبکه‌های عصبی یا روش‌های هوش مصنوعی در فرآیند مدلسازی در مرحله تست یا اعتبارسنجی بیشتر خواهد بود. پس از مرحله آموزش و صحت سنجی، تست یا اعتبارسنجی شبکه بهینه شده (مدل بهینه شده) انجام پذیرفت و مقایسه بین نتایج شبکه‌های عصبی مختلف در مرحله تست در جدول شماره ۴ ارائه شده است. بر اساس نتایج حاصله شبکه عصبی MLP با مقدار R_{sq} برابر با ۰/۹ مقادیر خطای کم و همچنین قرابت بین مقادیر شبیه‌سازی شده و مقادیر مشاهداتی، شبکه یا روشی کارآمد برای شبیه‌سازی مقادیر فرسایش سالانه خاک تعیین شد. در اشکال شماره ۴ و ۵ مقایسه بین مقادیر

مشاهداتی فرسایش سالانه خاک با مقادیر شبیه‌سازی شده در مرحله تست ارائه شده است. آنچه مسلم است شبکه‌های عصبی متعدد یا روش‌های دیگر هوش مصنوعی در شبیه‌سازی پارامترهای محیطی نظیر فرسایش خاک است و تعیین یک شبکه کارآمد و مناسب مهم می‌باشد (۱۴، ۴۱).

بر اساس نتایج مطالعات مراحل آموزش و تست، یک شبکه MLP با تابع انتقال تانژانت هیپربولیک، تکنیک یادگیری LM به عنوان شبکه بهینه برای برآورد مقادیر فرسایش سالانه خاک انتخاب شد. ورودی‌های بهینه برای مدلسازی فرسایش خاک شامل درصد تاج پوشش مرتعی، شکل شیب، میزان شیب، طول شیب و درصد رس و سیلت می‌باشند. مقادیر درصد شن در بافت خاک به‌عنوان یک ورودی مناسب برای فرآیند مدلسازی انتخاب نگردید و آن موجب کاهش کارایی شبکه‌ها در فرآیند مدلسازی می‌شد. در نهایت، یک شبکه بهینه اعتباریابی شده ارائه گشت که قابلیت برآورد مقادیر فرسایش خاک در مکان‌های فاقد داده را دارا است. در این مرحله با استفاده از شبکه اعتباریابی شده مقادیر فرسایش سالانه خاک در تمامی سطح منطقه مطالعاتی برآورد گردید و با ادغام قابلیت‌های شبکه عصبی و GIS، نتایج شبیه‌سازی‌ها در قالب نقشه مقادیر فرسایش سالانه خاک ارائه گردید. در شکل شماره (۶) نقشه مقادیر فرسایش سالانه خاک دامنه‌های مطالعاتی ارائه شده است که در حقیقت نتایج شبیه‌سازی فرسایش خاک توسط شبکه اعتباریابی شده بوده که در محیط GIS در قالب یک لایه رستری یا نقشه فرسایش خاک ارائه شده است. سپس، جهت ارزیابی نتایج حاصله و صحت و دقت متدولوژی ارائه شده از داده‌های مشاهداتی پین‌های فرسایشی و قابلیت آنالیز همپوشانی GIS استفاده گردید. در شکل شماره (۶) مقادیر فرسایش سالانه خاک پین‌های فرسایشی مذکور جهت ارزیابی صحت نتایج بر روی نقشه فرسایش خاک حاصله همپوشانی گردید. براساس نتایج، مقادیر فرسایش سالانه خاک تقریباً صفر مربوط به مکان‌هایی با پوشش گیاهی حداکثری و شیب حداقلی می‌باشد و مقادیر حداکثری فرسایش در مکان‌هایی با حداقل پوشش و حداکثر شیب زمین مشاهده می‌گردد. هر چند نقش عوامل شکل یا انحنای شیب و طول شیب نیز بسیار تأثیرگذار است. ارزیابی نتایج با استفاده از آنالیز همپوشانی تصویر ماهواره‌ای و مقادیر فرسایش مشاهداتی بر روی نقشه فرسایش خاک، دلالت بر صحت و دقت نتایج مدلسازی شبکه عصبی دارد بنابراین، با متدولوژی حاضر می‌توان در زمانی کوتاه و با دقتی قابل قبول مقادیر فرسایش خاک مکان‌ها یا دامنه‌های فاقد آمار را برآورد نمود.

جدول ۱- خلاصه ای از داده‌های ورودی (عوامل موثر در فرسایش خاک) و خروجی (مقادیر اندازه گیری شده فرسایش خاک) برای مدل‌سازی مقادیر فرسایش سالانه خاک

Table 1. Some samples of the inputs and output for the annual soil erosion modeling

ارتفاع فرسایش (سانتی‌متر)	فرسایش سالانه خاک (kg/m ³)	شیب زمین (درجه)	انحنای شیب	طول شیب (متر)	درصد رس	درصد سilt	درصد شن	درصد تاج پوشش
۰/۶	۸/۴	۷/۵	-۰/۲۸	۴۱۷	۳۵/۴	۴۴/۹	۱۹/۷	۴۱
۰/۸	۱۱/۲	۸/۸	-۰/۱۱	۴۵۶	۳۵/۴	۴۴/۹	۱۹/۷	۲۵
۰/۴۷	۹/۸	۷/۹	-۰/۱۱	۴۶۷	۳۵/۴	۴۴/۹	۱۹/۷	۳۲
۰/۶	۸/۴	۸/۲	-۰/۲۸	۴۸۱	۳۵/۴	۴۴/۹	۱۹/۷	۴۰
۰/۵	۷	۸/۵	-۰/۳۰۹	۴۹۵	۳۵/۴	۴۴/۹	۱۹/۷	۴۲
۱	۱۴	۱۱/۶	-۰/۵۵	۶۴۵	۳۵/۴	۴۴/۹	۱۹/۷	۲۰
۰/۸	۱۱/۲	۱۵/۶	-۰/۶	۵۲۷	۳۵/۴	۴۴/۹	۱۹/۷	۲۶
۰/۹	۱۲/۶	۱۸/۷	-۰/۷۲	۵۴۰	۳۵/۴	۴۴/۹	۱۹/۷	۲۵
۱	۱۴	۲۱/۵	-۰/۸۵	۵۵۲	۳۷/۹	۳۹/۴	۲۲/۷	۲۰
۱/۲	۱۶/۸	۲۷/۳	-۰/۶۷	۶۵۳	۳۷/۹	۳۹/۴	۲۲/۷	۱۵
۱/۱	۱۵/۴	۲۴/۴	-۰/۱۹	۶۰۰	۳۷/۹	۳۹/۴	۲۲/۷	۱۵
۱	۱۴	۲۰/۴	-۰/۰۳	۶۲۲	۳۷/۹	۳۹/۴	۲۲/۷	۲۵
۰/۷	۹/۸	۱۷/۷	-۰/۱۰۸	۶۴۵	۳۷/۹	۳۹/۴	۲۲/۷	۳۰
۰/۸	۱۱/۲	۱۸/۶	-۰/۲۷	۶۵۷	۳۷/۹	۳۹/۴	۲۲/۷	۳۰
۰/۹	۱۲/۶	۲۰/۴	-۰/۲۸	۶۶۸	۳۷/۹	۳۹/۴	۲۲/۷	۲۵
۰/۷	۹/۸	۱۹/۶۵	-۰/۰۸	۶۸۸	۳۷/۹	۳۹/۴	۲۲/۷	۳۰
۰/۶	۸/۴	۱۲/۸۹	-۰/۰۵	۷۲۹	۳۷/۹	۳۹/۴	۲۲/۷	۴۵
۰/۸	۱۱/۲	۱۱/۸۵	-۰/۰۴	۷۴۱	۳۷/۹	۳۹/۴	۲۲/۷	۴۵
۰/۷	۹/۸	۹	-۰/۰۲	۷۶۶	۳۷/۹	۳۹/۴	۲۲/۷	۴۲
۰/۶	۸/۴	۷/۴۸	-۰/۰۴	۷۷۵	۳۷/۹	۳۹/۴	۲۲/۷	۴۰
۰/۹	۱۲/۶	۹/۵	-۰/۱۱	۷۹۳	۳۷/۹	۳۹/۴	۲۲/۷	۲۵
۰/۶	۸/۴	۷/۵	-۰/۲	۸۰۹	۳۷/۹	۳۹/۴	۲۲/۷	۵۰
۰/۷	۹/۸	۸	-۰/۳۲	۸۱۹	۳۷/۹	۳۹/۴	۲۲/۷	۴۵
۰/۵۵	۷/۷	۸/۶	-۰/۴۹	۸۳۸	۳۷/۹	۳۹/۴	۲۲/۷	۵۰
۰/۹	۱۲/۶	۱۲	-۰/۶۸	۸۵۹	۳۷/۹	۳۹/۴	۲۲/۷	۳۰
۱/۲	۱۶/۸	۱۴/۲	-۰/۸۷	۸۷۸	۳۷/۴	۴۱/۵۳	۲۱/۰۶	۲۰
۱	۱۴	۱۵/۳	-۰/۸۱	۸۸۲	۳۷/۴	۴۱/۵۳	۲۱/۰۶	۲۳
۰/۹	۱۲/۶	۱۴/۷۹	-۰/۸	۸۸۸	۳۷/۴	۴۱/۵۳	۲۱/۰۶	۲۵
۰/۹	۱۲/۶	۱۸/۱	-۰/۵۴	۹۰۷	۳۷/۴	۴۱/۵۳	۲۱/۰۶	۲۵
۱/۱	۱۵/۴	۱۹/۳	-۰/۴	۹۳۰	۳۷/۴	۴۱/۵۳	۲۱/۰۶	۲۰
۰/۸	۱۱/۲	۱۹/۹	-۰/۲۸	۹۳۷	۳۷/۴	۴۱/۵۳	۲۱/۰۶	۲۵
۰/۶	۸/۴	۲۱/۶	-۰/۶۲	۹۴۲	۳۷/۴	۴۱/۵۳	۲۱/۰۶	۳۰
۰/۵۵	۷/۷	۲۱/۶	-۰/۲۳۳	۹۵۰	۳۷/۴	۴۱/۵۳	۲۱/۰۶	۶۰
۰	۰	۳/۸۵	-۰/۳۳	۱۳۹۲	۳۸/۴	۴۱/۲	۲۰/۴	۱۰۰
۰/۷	۹/۸	۲۴	-۰/۸۳	۹۷۸	۳۷/۴	۴۱/۵۳	۲۱/۰۶	۳۰

جدول ۲- ضرایب همبستگی بین فرسایش خاک و عوامل موثر در فرسایش خاک

Table 2. Correlation coefficients between soil erosion and affecting factors in soil erosion

پارامتر	ضریب همبستگی	معنی داری (Sig)
شیب زمین	۰/۳	۰/۰۰
طول شیب	۰/۴	۰/۰۰
شکل شیب (انحناء)	۰/۶۵	۰/۰۰
درصد تاج پوشش گیاهی	-۰/۸۵	۰/۰۰
درصد رس	-۰/۲۲۴	۰/۰۰
درصد سilt	-۰/۰۴	۰/۱
درصد شن	۰/۲۵	۰/۰۰

جدول ۳- نتایج آموزش شبکه عصبی برای شبیه سازی مقادیر فرسایش سالانه خاک بر روی اراضی شیبدار مرتعی

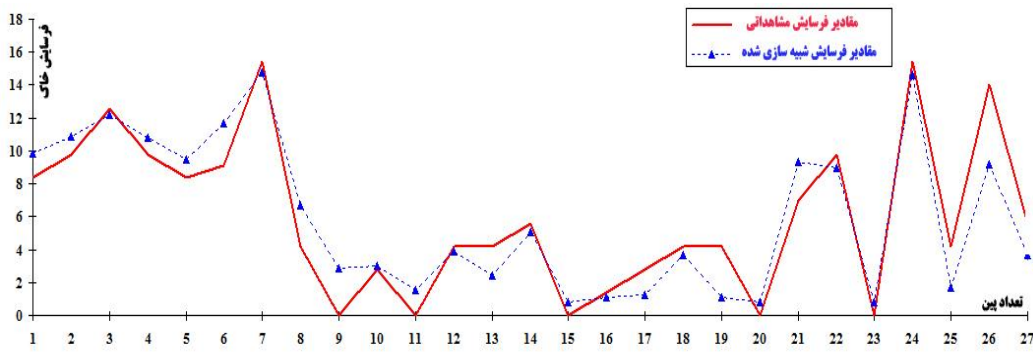
Table 3. The results of training stage in soil erosion modeling on the rangeland hillslopes

میانگین کمترین مقدار MSE	میانگین کمترین مقدار آموزش	انحراف معیار مرحله آموزش	کمترین مقدار صحت سنجی	انحراف معیار مرحله صحت سنجی
۰/۰۰۵	۰/۰۰۵	۰/۰۰۰۴	۰/۰۰۲	۰/۰۰۰۳
۰/۰۰۵	۰/۰۰۵	۰/۰۰۰۴	۰/۰۰۲	۰/۰۰۰۴

جدول ۴- نتایج ارزیابی کارایی شبکه عصبی در شبیه سازی مقادیر فرسایش سالانه خاک اراضی شیبدار مرتعی در مرحله تست یا اعتباریابی

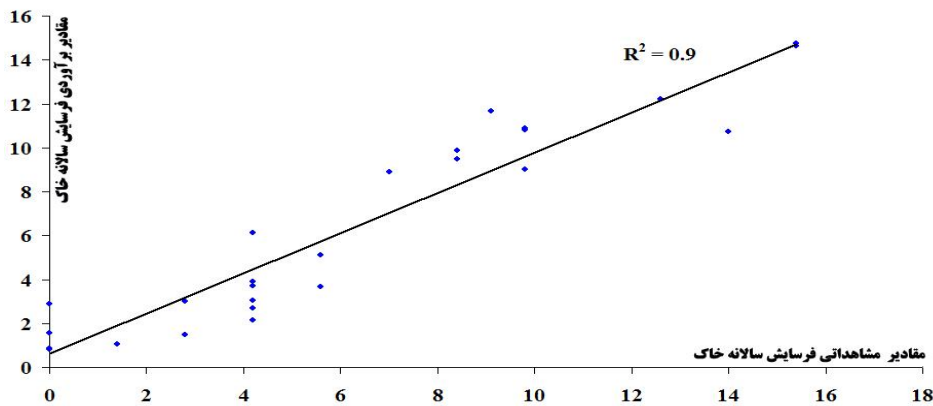
Table 4. The results of test stage in soil erosion modeling on the rangeland hillslopes

MSE	NMSE	MAE	Min Abs Error	Max Abs Error	R _{sqr}
۵/۱۲	۰/۲	۱/۸	۰/۲	۶/۴	۰/۹



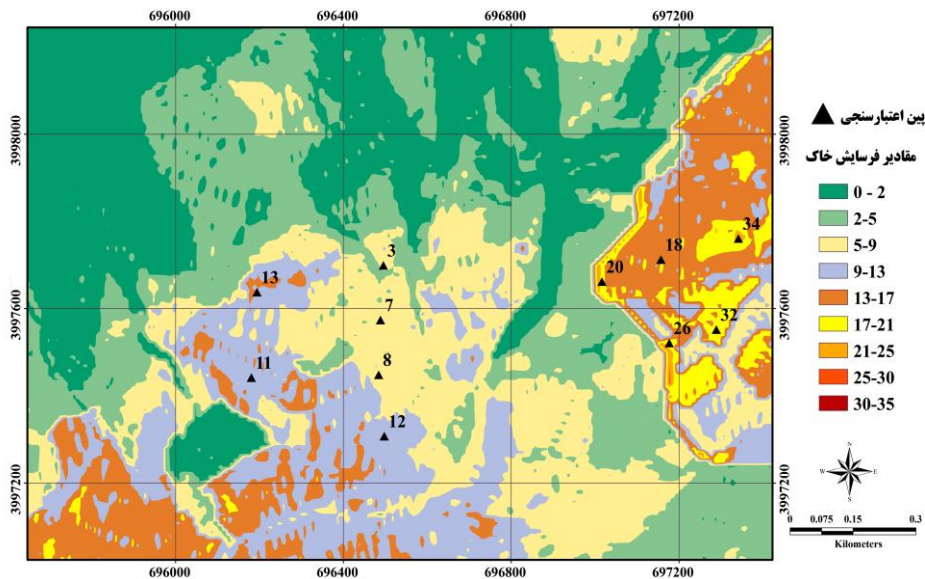
شکل ۴- ارزیابی کارایی شبکه عصبی در شبیه سازی مقادیر فرسایش سالانه خاک (کیلوگرم در متر مربع) در مرحله تست یا اعتباریابی از طریق مقایسه مقادیر واقعی و مقادیر شبیه سازی شده

Figure 4. Evaluation of ANN performance in simulating annual soil erosion rates (kg / m^2) in test or validation stage by comparing the simulated and observed rates



شکل ۵- ارزیابی کارایی شبکه عصبی در شبیه سازی مقادیر فرسایش سالانه خاک (کیلوگرم در متر مربع) در مرحله تست یا اعتباریابی از طریق مقایسه مقادیر واقعی و مقادیر شبیه سازی شده

Figure 5. Evaluation of ANN performance in simulating annual soil erosion rates (kg / m^2) in test or validation stage by comparing the simulated and observed rates



ارزیابی

شکل ۶- نقشه مقادیر فرسایش سالانه خاک (کیلوگرم در مترمربع) در اراضی شیبدار مرتعی حاصل از تلفیق قابلیت‌های ANN و GIS بر روی نقشه مقادیر فرسایش سالانه صحت نتایج در این مرحله نیز از طریق همپوشانی مقادیر فرسایش خاک اندازه

خاک برآوردی توسط شبکه عصبی انجام پذیرفت and GIS capabilities.

Figure 6. Map of annual soil erosion rates (kg/m^2) on the rangeland hillslopes resulting from a combination of ANN results was also performed by overlapping the measured soil erosion values on the map of annual soil erosion values estimated by the ANN

مقادیر فرسایش سالانه خاک در محیط GIS، از طریق همپوشانی مقادیر فرسایش سالانه مشاهداتی بین‌های اعتباریابی، صحت و دقت نقشه حاصله ارزیابی شد. لازم به ذکر است که در فرآیند مدلسازی ۲۵ درصد داده‌ها برای تست یا اعتباریابی استفاده گردید. همچنین، مقایسه مقادیر فرسایش مشاهداتی با مقادیر شبیه سازی شده منعکس‌کننده نزدیکی ارقام نقشه فرسایش خاک با ارقام بین‌های مشاهداتی اعتبارسنجی می‌باشد. بررسی تغییرات مکانی مقادیر فرسایش خاک نشان داد که در مکان‌های دارای پوشش حداقلی و شیب بالاتر، مقادیر بالاتر فرسایش برآورد شده است (۳۹). آنچه مسلم است، ارزیابی مدلسازی در مرحله تست در شبکه عصبی، ارزیابی صحت نقشه تولید شده و همچنین آنالیز همپوشانی نقشه تولید شده بر روی تصاویر ماهواره‌ای (کاربری‌ها و شدت فرسایش) دلالت بر کارایی متدولوژی ارائه شده در برآورد مقادیر فرسایش خاک دارد. لازم به ذکر است که ورودی‌های شبکه یا مدل برای سایر دامنه‌ها قابل برآورد بوده و می‌توان شبکه عصبی حاضر یا سایر روش‌های هوش مصنوعی را در برآورد فرسایش خاک دامنه‌های فاقد آمار بکار گرفت (۲۷، ۴۰، ۵۱).

در نهایت، پایش تغییرات فرسایش خاک در سطح دامنه‌ها جهت شناسایی مکان‌هایی با فرسایش خاک بالاتر و اولویت‌های مکانی اجرای اقدامات بیولوژیک بسیار مهم و کارآمد خواهد بود. همچنین، چنین نتایجی به یک سوال مهم مبتنی بر اینکه حداکثر فرسایش خاک در طول یک شیب در کدام بخش از آن خواهد بود، پاسخ می‌دهد.

نتیجه‌گیری کلی

آنچه مسلم است تکنیک‌های هوش مصنوعی می‌تواند یک روش بسیار کارآمد در برآورد پارامترهای محیطی و یا فرسایش خاک باشد. اما، در این راستا آنچه مهم است انتخاب روش یا سیستمی مناسب است. در گام نخست برآورد مقادیر فرسایش خاک، انتخاب روش اندازه‌گیری فرسایش با توجه به اهداف مطالعات و نوع فرسایش مهم می‌باشد. استفاده از بین‌های فرسایشی یا پلات‌های فرسایشی اشکال قالب اندازه‌گیری می‌باشند که برای اندازه‌گیری فرسایش سالانه بر روی دامنه‌ها با توجه به شیب بالا، هزینه مطالعات و تغییرات شدید توپوگرافی و پوشش گیاهی روش استقرار بین فرسایشی، بسیار کارآمد بوده است (۲۶، ۲۴، ۳۰).

روش حاضر در برآورد فرسایش خاک دارای مزیت‌های خاصی می‌باشد. در بحث اندازه‌گیری با بین‌های فرسایشی می‌توان به سهولت و سرعت اجرا و کم هزینه بودن آن اشاره نمود. در بحث بکارگیری GIS به‌عنوان پیش پردازنده و پس پردازنده نیز، سرعت عمل، دقت پردازش و در دسترس بودن آن از ویژگی‌های مهم آن است. نکته دیگر توانایی ادغام یا تلفیق ورودی‌های شبکه عصبی یا خروجی‌های شبکه عصبی با GIS به منظور آنالیزهای مکانی یا مپینگ فرسایش خاک می‌باشد. در مورد بکارگیری روش‌های هوش مصنوعی نظیر شبکه عصبی نیز، انجام مدلسازی دقیق در زمانی کوتاه از ویژگی‌های بارز آن است. از طرفی، این قابلیت در هوش مصنوعی وجود دارد که در صورت عدم دسترسی به یک

نتایج اولیه مطالعات، در قالب مقادیر فرسایش سالانه خاک و عوامل موثر در فرسایش خاک یا ورودی‌های شبکه ارائه گردید. بر اساس تجزیه و تحلیل رگرسیونی مهمترین عوامل موثر در فرسایش خاک روی دامنه‌ها به ترتیب درصد پوشش گیاهی، شکل شیب، طول شیب، شیب زمین و بافت خاک می‌باشند. از بین عوامل مذکور عوامل شکل شیب، شیب زمین و میزان شن در خاک با مقادیر فرسایش رابطه مستقیم دارد و سایر عوامل شامل درصد پوشش گیاهی، میزان رس و سیلت در بافت خاک با فرسایش رابطه عکس دارد. همچنین، شکل شیب زمین عاملی بسیار تأثیرگذار می‌باشد بطوری که در مکان‌های با شیب بالاتر و طول شیب بیشتر که انتظار فرسایش بیشتری می‌رفت، اندازه‌گیری‌ها نشان داد که مکان‌هایی با حالت شیب مقعر، مقادیر فرسایش کم می‌باشد و حتی محل رسوبگذاری و بالا آمدن سطح اولیه خاک خواهند بود و بالعکس مکان‌هایی با حالت محدب شیب، فرسایش بیشتر عمل می‌نماید و مقادیر فرسایش برآوردی بیشتر است که این نتایج با تحقیقات گذشته همخوانی دارد (۱۰، ۱۶، ۱۷).

همچنین، تأثیر انحنای شیب یا شکل شیب در مقادیر فرسایش حاصل از رواناب سطحی بیشتر از فرسایش حاصل از پاشمان می‌باشد. بر اساس تجزیه و تحلیل آماری (ضریب همبستگی) و همچنین آنالیز حساسیت ورودی‌ها در شبکه عصبی، عامل پوشش مرتعی و شکل شیب یا انحنای شیب مهمترین عوامل تأثیرگذار در مقادیر فرسایش خاک در دامنه مطالعاتی می‌باشند زیرا در سطح محدود مطالعاتی تغییرات شدت و مدت بارش و خصوصیات خاک نظیر بافت خاک قابل توجه نبوده است. آنچه مسلم است در تغییرات مکانی مقادیر فرسایش خاک، توزیع مکانی بارش و تغییرات خصوصیات خاک (مقادیر رس، سیلت و شن) تأثیر قابل توجهی دارند (۴۷، ۲۳، ۱۹، ۵، ۴۸).

در نهایت، عوامل موثر در فرسایش در روی دامنه‌ها به عنوان ورودی‌ها و مقادیر فرسایش سالانه به عنوان خروجی شبکه عصبی بکار گرفته شد و نتایج مدلسازی نشان داده است که هوش مصنوعی قابلیت بالایی در برآورد مقادیر فرسایش خاک در زمانی کوتاه با حداقل هزینه‌ها را داراست. مطالعات گذشته نظیر شی و همکاران (۲۲) و کرنی و همکاران (۴۲) دلالت بر سهولت استفاده از بین‌ها و کارایی آنها در برآورد فرسایش خاک داشته است. همچنین، مطالعات دیگری نشان داده است که شبکه عصبی و بکارگیری تلفیقی آن با سیستم اطلاعات جغرافیایی قابلیت بالایی در برآورد دقیق پارامترهای خاک نظیر فرسایش خاک داشته است (۱۳، ۴۹، ۲۱، ۱۵).

این متدولوژی می‌تواند یک مشکل جدی یعنی بحث زمان و هزینه انجام مطالعات و برنامه‌ریزی‌ها را به‌خصوص در کشورهای توسعه نیافته یا در حال توسعه که از طرفی فرسایش خاک در آن‌ها بالاست و از طرف دیگر با مشکلات مالی روبرو می‌باشند برطرف نماید.

نتایج ارزیابی کارایی شبکه عصبی به دو شکل یکی در مرحله تست یعنی مقایسه مقادیر برآوردی با مقادیر مشاهداتی صورت پذیرفت و شکل دیگر ارزیابی، پس از ارائه نقشه

استفاده تلفیقی آن‌ها با پلات‌های فرسایشی بخصوص در شیب‌های با تغییرات قابل توجه شکل شیب، برای تعیین مکانیسم فرسایش آبی و مدلسازی دقیق‌تر پیشنهاد می‌گردد.

تشکر و قدردانی

در پایان بر خود لازم می‌دانیم از همکاری و زحمات پرسنل اداره کل منابع طبیعی و آبخیزداری استان مازندران به جهت تأمین داده‌های مورد نیاز تحقیق حاضر و همچنین سایر حمایت‌های ایشان تشکر نماییم.

ورودی یا عامل برای مدلسازی، ساختارهای مختلف شبکه عصبی را با افزودن یا حذف یک یا چند عامل برای فرآیند مدلسازی بکار گرفت. مورد مذکور از نقاط قوت و کاربردی بکارگیری هوش مصنوعی در فرآیند مدلسازی می‌باشد. همچنین، شناسایی عوامل اصلی فرسایش و شکل قالب فرسایش در برنامه ریزی برای مدیریت و کنترل فرسایش خاک بسیار مهم و ضروری است (۹،۱۵،۲۵). در نهایت انجام مطالعات آتی در زمینه فرسایش خاک بر روی دامنه‌های مرتعی با استفاده از پهن‌های فرسایشی و یا

منابع

1. Akay, A.E., O. Erdas, M. Reis and A. Yuksel. 2008. Estimating sediment yield from a forest road network by using a sediment prediction model and GIS techniques. *Build Environ*, 43: 687-695.
2. Aldrich, G.A., J.A. Tanaka, R.M. Adams and J.C. Buckhouse. 2005. Economics of western juniper control in central Oregon. *Rangeland Ecol & Manage*, 58: 542-552.
3. Boardman, J., D.T. Favis-Mortlock and I.D.L. Foster. 2015. A 13-year record of erosion on badland sites in the Karoo, South Africa. *Earth Surface Processes and Landforms* DOI: 10.1002/esp.3775.
4. Boardman, J. and D. Favis-Mortlock. 2016. The use of erosion pins in geomorphology, *Geomorphological Techniques*, Chap. 3, Sec. 5.3
5. Bohm, P. and G. Gerold. 1995. Pedo-hydrological and sediment responses to simulated rainfall on soils of the Konya Uplands (Turkey). *Catena*, 25(1-41): 63-75.
6. Clayton, L. and J.R. Tinker. 1971. Rates of hillslope lowering in the Badlands of North Dakota. North Dakota University Water Resources Research Institute, Report W1-221-012-71. W73.09121.N.T.I.S. PB 220 355, 1-36.
7. Darvari, Z., V. Gholami and A. Joker. 2013. Simulation of karst spring discharge using artificial neural network (Case study: Central Alborz heights). *Natural Geography Research*, 77: 68-57.
8. Dayhoff, J. 1990. *Natural Networks architectures: An introduction*. New Yourk: Van Nostrand Reinhold.
9. Descroix, L. and J. Poulenard. 1995. Les formes d'érosion dans la Sierra Madre Occidentale (Nord Ouest du Mexique). *Bull. Lab. Rhod. Géomorphol*, 33-34.
10. Di Stefano, C., V. Ferro, P. Porto and G. Tusa. 2000. Slope curvature influence on soil erosion and deposition processes. *Water resources research*, 36(2): 607-617.
11. Emmett, W.W. 1965. The Virgil Network: methods of measurement and a sampling of data collected. *International Association of Scientific Hydrology Publication*, 66: 89-106.
12. Esmaeli Gholzom, H. and V. Gholami. 2012. A comparison between natural forests and reforested lands in terms of runoff generation potential and hydrologic response (case study: Kasilian Watershed). *Journal Soil & Water Res*, 4: 166-173.
13. Gangopadhyay, S., T. Gautam and A. Gupta. 1999. Subsurface characterization using artificial neural network and GIS *Journal of Computing in Civil Engineering*, 13(3): 153-161.
14. Gholami, G. and M.R. Khaleghi. 2013. The impact of vegetation on the bank erosion (case study: the Haraz river). *Journal Soil & Water Res*, 8(4): 158-164.
15. Gholami, V., M.J. Booi, E.N. Tehrani and M.A. Hadian. 2018. Spatial soil erosion estimation using an artificial neural network (ANN) and field plot data. *J Catena*, 163: 210-218.
16. Gray, D. 2016. Effect of slope shape on soil erosion, *Journal of civil nviron eng*, (6)3: 1000231. DOI: 10.4172/2165-784X.1000231.
17. Haigh, M.J. 1977. The use of erosion pins in the study of slope evolution. In, *Shorter Technical Methods (II)*. Technical Bulletin No. 18, British Geomorphological Research Group. *Geo Abstracts: Norwich, UK*; 31-49.
18. Hancock, G.R., R.J. Loughran, K.G. Evans and R.M. Balog. 2008. Estimation of Soil Erosion Using Field and Modelling Approaches in an Undisturbed Arnhem Land Catchment, Northern Territory, Australia, *Geographical Research*, 46(3): 333-349. doi: 10.1111/j.1745-5871.2008.00527.x
19. Hancock, G.R. and J.B.C. Lowry. 2015. Hillslope erosion measurement—a simple approach to a complex process. *Hydrological Processes*, 29: 4809-4816.
20. Ireland, H.A., C.F.S. Sharpe and D.H. Eargle. 1939. *Principles of Gully Erosion in the Piedmont of South Carolina*.
21. Joker, A., V. Gholami and A. Goli jirandeh. 2013. *Principles and Concepts of Geographical Information System*, Mazandaran University Press, 200 p (In Persian).
22. Kearney, P., S.J. Fonte, E. Garcia and M. Smukler. 2017. Improving the utility of erosion pins: absolute value of pin height change as an indicator of relative erosion, *J. Catena*. 163: 427-432. doi.org/10.1016/j.catena.12.008.
23. Keim, R.F., A.E Skaugset and M. Weiler. 2006. Storage of water on vegetation under simulated rainfall of varying intensity. *Adv. Water Resource*, 29(7): 974-986.
24. Kirkby, A.V.T and M.J. Kirkby. 1974. Surface wash at the semi-arid break in slope. *Zeitschrift fur Geomorphologie Suppl*, 21: 151-176.

25. Kirkby, M.J., L.J. Bracken and J. Shannon. 2005. The influence of rainfall distribution and morphological factors on runoff delivery from dryland catchments in SE Spain, *Catena*. 62: 136-159, doi: 10.1016/j.catena.2005.05.002.
26. Las Heras, M.M., J.M. Nicolau, L.M. Martín, P. Bradford and B.W. Wilcox. 2010. Plot-scale effects on runoff and erosion along a slope degradation gradient. *Water Resour Res*, (46): 1-12. doi: 10.1029/2009WR007875.
27. Licznar, P. and M.A. Nearingb. 2003. Artificial neural networks of soil erosion and runoff prediction at the plot scale. *Catena*, 51: 89-114
28. Loughran, R.J. 1989: The measurement of soil erosion. *Progress in Physical Geography*, 13: 216-233
29. Maier, H., and G. Dandy. 2000. Neural networks for the predictions and forecasting of water resources variables: review of modeling issues and applications. *Environmental Modeling and Software*, 15: 101-124.
30. McCoord, N.M. and W.T. Illingworth. 1990. A practical guide to neural nets. Addison-Wesley, Publ. Co. the University of Michigan, 344 p.
31. Mosaffaie, J. and M.R. Ekhtesasi. 2016. Comparison of the relative sediment yield potential of lithological units using sediment grain color. *Iranian Journal of Watershed Management Science and Engineering*, 10(32): 51-58.
32. Mosaffaie, J. and A. Talebi. 2014. A Statistical View to the Water Erosion in Iran. *Extension and Development of Watershed Management*, 2(5): 9-17.
33. Mosaffaie, J., M.R. Ekhtesasi and A. Salehpour Jam. 2017. Comparison of fingerprinting & field measurement of erosion in water sediment source tracing. *Iranian Journal of Watershed Management Science and Engineering*, 12(40): 1-9.
34. Mosaffaie, J., M.R. Ekhtesasi and J.A. Salehpour. 2017. Seasonal variation of the erosion rate using direct measurement. *Journal of Watershed Management Research*, 30(2): 48-56.
35. Mosaffaie, J., M. Ekhtesasi, M. Dastorani, H. Azimzadeh and M. Zare Chahouki. 2015. Temporal and spatial variation of the water erosion rate. *Arabian journal of Geosciences*, 8(8): 5971-5979. doi:10.1007/s12517-014-1628-z.
36. Nilsson, P., C.B. Uvo and R. Berndtsson. 2005. Monthly runoff simulation: Comparing and combining conceptual and neural network models. *Journal Hydrol.xx*. 1-20 pp.
37. Pierson, F.B., J.D. Batees, T.J. Svejcar and S.P. Hardegree. 2007. Runoff and erosion after cutting western juniper. *Rangeland ecol & manage*, 60: 285-292.
38. Rajurkar, M.P., U.C Kothiyari and U.C. Chaube. 2004. Modeling of the daily rainfall-runoff relationship with artificial neural network, *Journal Hydrology*, 285(1/4): 96-113.
39. Riad, S., J. Mania, L. Bouchaou and Y. Najjar. 2004. Predicting catchments flow in a semi-arid region via an artificial neural network technique. *Journal of hydrological process*, 18(13): 2387-2393. doi: 10.1002/hyp.1469.
40. Sahour, H., V. Gholami, M. Vazifedan and S. Saeedi. 2021. Machine learning applications for water-induced soil erosion modeling and mapping. *Soil and Tillage Research*. 211, 105032.1-12.
41. Schumm, S.A. 1996. Evolution of drainage systems and slopes in Badlands at Perth Amboy, New Jersey. *Geological Society of America Bulletin*, 67: 597-646.
42. Shi, Z., A. Wen, X. Zhang and D. Yan. 2011. Comparison of the soil losses from ⁷Be measurements and the monitoring data by erosion pins and runoff plots in the Three Gorges Reservoir region. *China. Appl. Radiat. Isot*, 69: 1343-1348.
43. Shokrolahi, Sh., H. Moradi and GH. Dianati Tilaki. 2012. Investigation of the effect of soil properties and physiographic factors on plant cover (Case study: part of Pleur summer pastures). *Scientific-Research Quarterly Journal of Rangeland and Desert Research of Iran*, 19(4): 655-668 (In Persian).
44. Sun, J., X. Yu, H. Li, C.H. Yu, H. Wang, Z. Tu and H. Liang. 2016. Simulated erosion using soils from vegetated slopes in the Jiufeng Mountains. *China. Catena*, 136: 128-134.
45. Tahmasebi, P. and A. hezarkhani. 2009. Provide a way to optimize the neural network for estimating carats using information from the Sonajil-Ahar copper porphyry copper system. *Journal of Earth Sciences*, 21(81): 31-36 (In Persian).
46. Tokar, A.S. and M. Markus. 2000. Precipitation runoff modeling using artificial neural network and conceptual models. *Journal of Hydrologic Engineering*, 5: 156-161.
47. Wischmeier, W.H. and D.D. Smith. 1978. Predicting rainfall erosion losses: a guide to conservation planning. *Agric. Handbook No. 282*. US Department of Agriculture, Washington, DC.
48. Yair, A. and H. Lavee. 1974. Areal contribution to runoff on scree slopes in an extreme arid environment. A simulated rainstorm experiment. *Zeitschr. Fur Geom*.
49. Zarechahooki, M., M. Abasi and H. Azarnivand. 2012. Assessing the capability of the artificial neural network model in predicting the spatial distribution of plant species (Case study: Middle Taleghan rangelands). *Rangeland Scientific-Research Journal*, 8(2): 106-115 (In Persian)
50. Zarepoor, M., A. Shirzadi and S.M. Beiranvand. 2012. Artificial neural networks and border security. *Research Security Quarterly*, 11(38): 219-240 (In Persian).
51. Zhao, Z., T.L. Chow, H.W. Rees, Q. Yang, Z. Xing and F.R. Meng. 2009. Predict soil texture distributions using an artificial neural network model. *Comput Electron Agri*, 65(2009): 36-48.

Estimation of Soil Erosion using Artificial Neural Network (ANN) and Geographic Information System (GIS) on the Rangeland Hillslopes

Vahid Gholami¹, Farhad Borna² and Mohammad Ali Hadian³

1- Associate Professor, Faculty of Natural Resources, University of Guilan,
(Corresponding Author: gholami.vahid@gmail.com)

2- Graduated from the Department of Rangeland, Sari University of Agricultural Sciences and Natural Resources

3- Assistant Professor of Mazandaran Agricultural and Natural Resources Education and Research Center, Soil
Protection and Watershed Management Department

Received: 31 July, 2021

Accepted: 5 October, 2021

Extended Abstract

Introduction and Objective: Soil erosion is one of the most important problems in natural resources management, especially on the rangeland hillslopes. Further, soil erosion estimation using field measurement is expensive and time-consuming. Therefore, models can be efficient tool for performing an exact estimation in a short time and a low cost. The aim of this study is to present a methodology to estimate soil erosion on the rangeland hillslopes.

Material and Methods: In this study, the annual rates of soil erosion have been studied using erosion pins on the rangeland hillslope in the of Kasilian watershed in Mazandaran Province. Annual soil erosion rates were measured using 109 erosion pins (one year after the its establishment) due to changes in soil surface and soil specific gravity. An artificial neural network (ANN) was used in NeuroSolutions software. Soil erosion rates were as the model output and the affecting factors of soil erosion were the inputs. The model inputs rangeland cover percentage, land slope, slope length, slope shape (land curvature) and soil texture (sand, clay and silt percentage). The modeling process was performed using the MLP network. All of the data were separated into three classes included training (65% data), cross-validation (10%), and test stage (25% data). The model was performed and optimized. Further, geographic information system (GIS) was used for mapping soil erosion rates based on the simulated erosion values.

Results: The results of the test stage proved the high performance of the ANN in estimating soil erosion ($R_{sqr} = 0.9$). Further, statistical analysis using SPSS software and the optimum structure of the network and sensitivity analysis showed that the most important factors of soil erosion are vegetation cover, slope shape, land slope, slope length and soil characteristics, respectively. Finally, the optimized network inputs were combined in a GIS environment with a pixel size of ten meters, and annual soil erosion map was generated by coupling the capabilities of ANN and GIS on the studied rangelands.

Conclusion: The proposed methodology can be used as an efficient and alternative method for field measurements of soil erosion in the highlands with a high performance.

Keywords: Kasilian Watershed, MLP, Modeling, Soil erosion map